



deSitter energy?

白水徹也 (東工大 )

Shiromizu, Nakao, Kodama and Maeda, PRD47, 3099(1993)

Nakao, Shiromizu and Maeda, CQG 11, 2059(1994)

Shiromizu, PRD49, 5026(1994)

Kastor and Traschen, CQG13, 2753(1996)

Shiromizu, PRD60, 064019(1999)

Shiromizu, Ida and Torii, JHEP11, 010(2001)

Kastor and Traschen, hep-th/0206105

Kastor, Shiromizu and Traschen, in progress



Outline

1. 何故いまさらdeSitter

2. deSitter時空

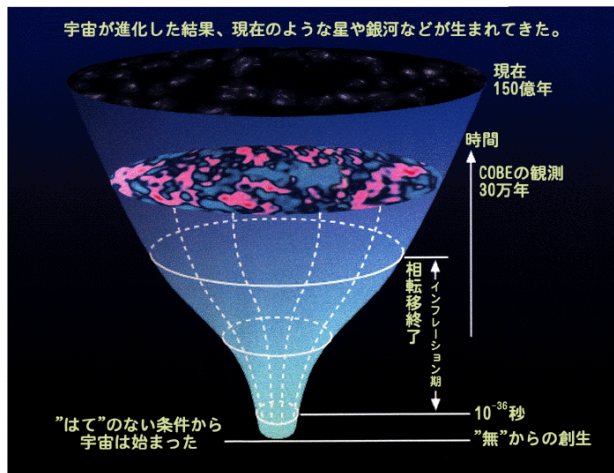
3. deSitterエネルギー？



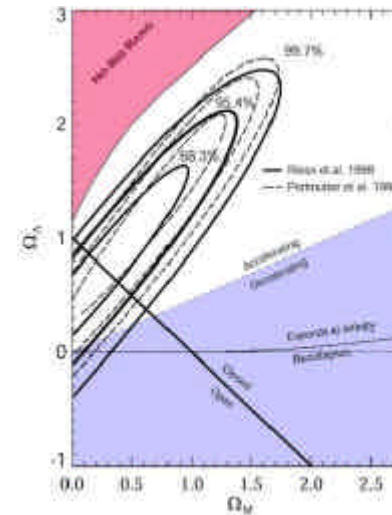
1. 何故いまさらdeSitter

横山順一氏 (大阪大学)曰く

始めも終わりもインフレーション



K.Sato, Guth,...



Perlmutter et al

Inflation, Dark energy \approx positive cosmological constant $\Lambda > 0$

始めも終わりもdeSitter

Wittenの講演 @String2001

Witten

QUANTUM GRAVITY IN de SITTER SPACE (3)

de SITTER (dS) SPACE IS THE
MAXIMALLY SYMMETRIC SPACE WITH
 $\Lambda > 0$

$$ds^2 = -dt^2 + \cosh^2 t \left(\frac{d\mathbb{S}^3}{\text{sphere}} \right)^2$$

COMPACT SPATIAL SECTIONS, SO
WHEN WE SPEAK OF ASYMPTOTICALLY
dS SPACE (as we should in the
presence of gravity - the *meibifluctus*)
THE ASYMPTOTIA IN QUESTION IS IN
THE PAST AND FUTURE - IN CONTRAST
TO SPATIAL ASYMPTOTIA FOR $\Lambda \leq 0$.

Horava

de Sitter Entropy & String Theory

Strings 2001
Mumbai, January 5

work in progress with V. Balasubramanian & D. Minic



基礎的な問題点

- 超対称性との相性？

⇒ Pilch, van Nieuwenhuizen and Sohnius('85)

- deSitter entropyの意味？

⇒ deSitter/CFT対応 Strominger('01) ,...

- deSitter energy ? 「超対称性」との関係

⇒ Abbott-Deser energy ('81), ..., Shiromizu Ida and Torii('01), Kastor and Traschen('02)



deSitter entropy

宇宙の地平線 \Rightarrow ホーキング輻射のようなものが存在

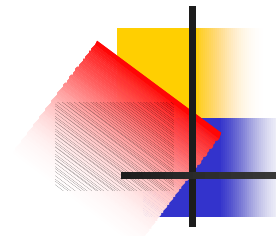
エントロピー Gibbons and Hawking('77)

$$S = \frac{1}{4} A_{ch}$$

素朴には地平線の
外側の自由度

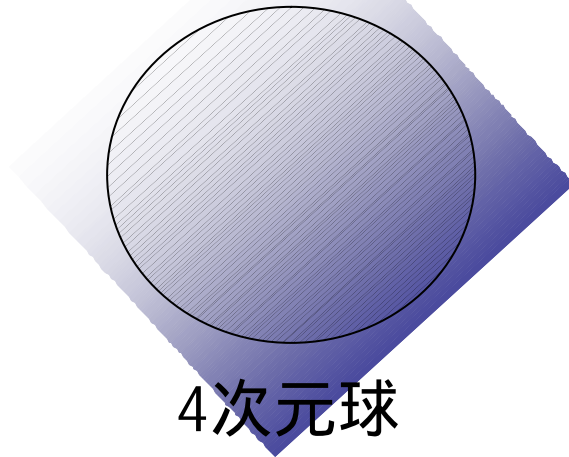
$$A_{ch} = 4pH^{-2} = 12p\Lambda^{-1} \quad (\text{地平線の面積})$$

cf) インフレーション中の宇宙の揺らぎの種



導出

Euclidean deSitter



分配関数 $Z \approx e^{12p\Lambda^{-1}}$

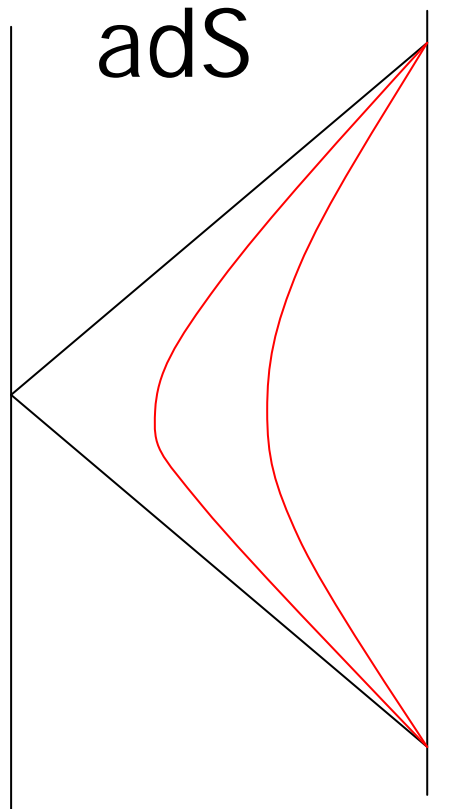
$$F = -T \ln Z = M - TS$$

$$M = 0$$

$$S \approx 4pH^{-2}$$

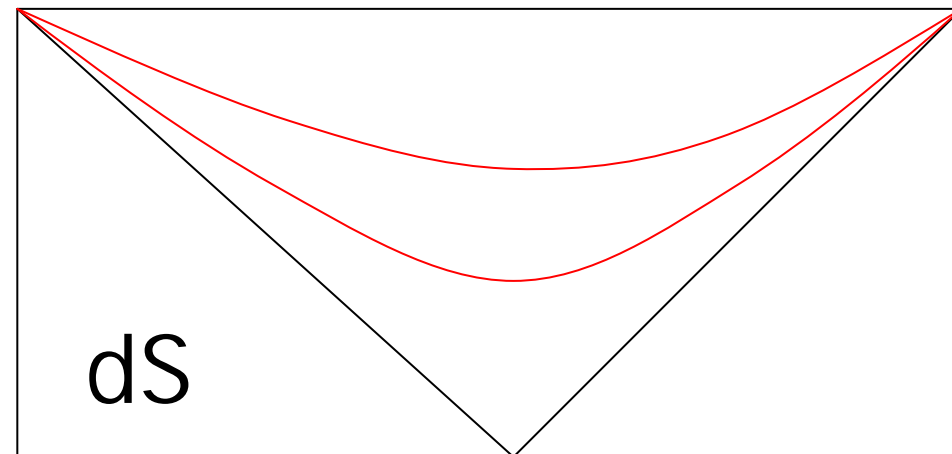
adS/CFTからdS/CFTへ

$$ds^2 = dy^2 + e^{2y/\ell} (-dt^2 + \mathbf{d}_{ij} dx^i dx^j) \quad \ell = \sqrt{-3/\Lambda}$$



$\Lambda < 0 \rightarrow \Lambda > 0, (\ell \rightarrow iH^{-1})$
 $y \rightarrow it$
 $t \rightarrow iy$

$$ds^2 = -dt^2 + e^{2Ht} (dy^2 + \mathbf{d}_{ij} dx^i dx^j) \quad H = \sqrt{3/\Lambda}$$



CFTからentropyの物理的解釈

井沢健一氏 「インフレーション」
曰く



2. deSitter時空



deSitter時空

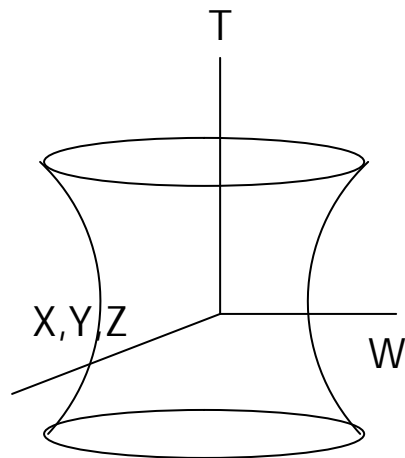
「始めも終わりもインフレーション」(横山純一氏)

Inflation, Dark energy \approx positive cosmological constant $\Lambda > 0$

Einstein方程式

$$R_{mm} = \Lambda g_{mm}$$

極大対称空間： **deSitter時空**



5次元Minkowski時空に埋め込まれた半径 $1/H$ の擬球面

5次元Minkowski時空の計量

$$ds_5^2 = -dT^2 + dW^2 + dX^2 + dY^2 + dZ^2$$

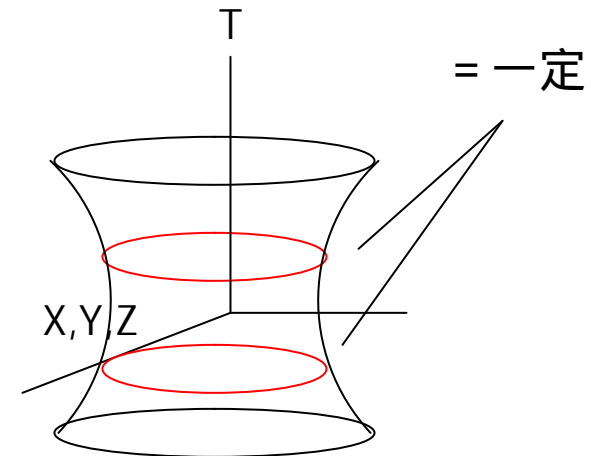
擬球面

$$-T^2 + W^2 + X^2 + Y^2 + Z^2 = H^{-2}$$

$$H = \sqrt{\Lambda/3}$$

完全チャート

$$\begin{cases} T = H^{-1} \sinh t \\ W = H^{-1} \cosh t \cos c \\ X = H^{-1} \cosh t \sin c \sin q \cos f \\ Y = H^{-1} \cosh t \sin c \sin q \sin f \\ Z = H^{-1} \cosh t \sin c \cos q \end{cases}$$

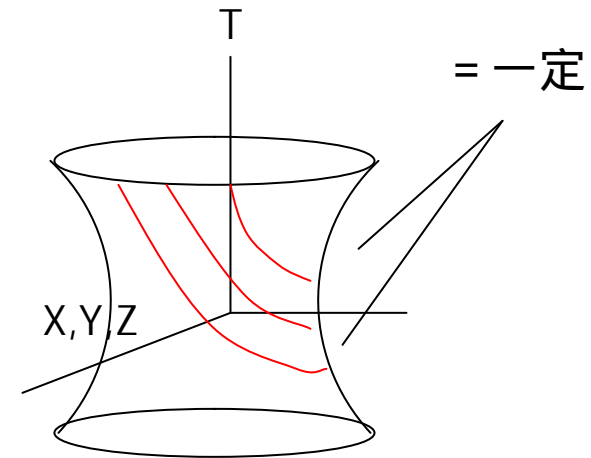


$$ds^2 = H^{-2} \left[-dt^2 + \cosh^2(t) (dc^2 + \sin^2 c d\Omega_2^2) \right]$$

$$= \text{一定} \iff T = \text{一定}$$

平坦チャート

$$\begin{cases} T + W = H^{-1} e^t \\ X = H^{-1} e^t c \sin q \cos f \\ Y = H^{-1} e^t c \sin q \sin f \\ Z = H^{-1} e^t c \cos q \end{cases}$$

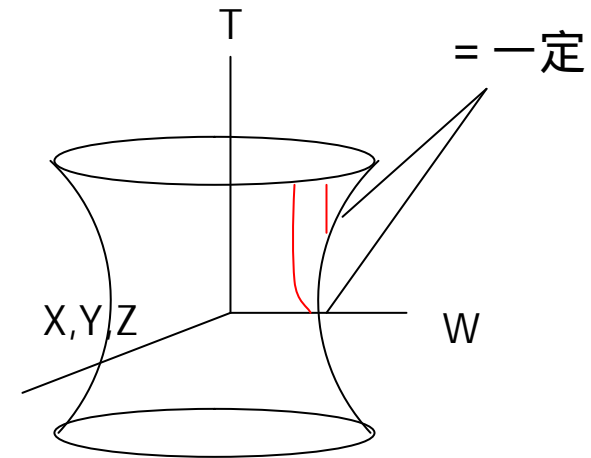


$$ds^2 = H^{-2} \left[-dt^2 + \underbrace{e^{2t} (dc^2 + c^2 d\Omega_2^2)}_{\text{Euclid空間}} \right]$$

Euclid空間

開チャート

$$\begin{cases} T = H^{-1} \sinh t \cosh c \\ W = H^{-1} \cosh t \\ X = H^{-1} \sinh t \sinh c \sin q \cos f \\ Y = H^{-1} \sinh t \sinh c \sin q \sin f \\ Z = H^{-1} \sinh t \sinh c \cos q \end{cases}$$



$$ds^2 = H^{-2} \left[-dt^2 + \sinh^2 t (dc^2 + \sinh^2 c d\Omega_2^2) \right]$$



静的チャート

$$\begin{cases} T = \sqrt{H^{-1} - r^2} \sinh(Ht) \\ W = \sqrt{H^{-1} - r^2} \cosh(Ht) \\ X = r \sin \mathbf{q} \cos \mathbf{f} \\ Y = r \sin \mathbf{q} \sin \mathbf{f} \\ Z = r \cos \mathbf{q} \end{cases}$$

$$ds^2 = -(1 - H^2 r^2) dt^2 + (1 - H^2 r^2)^{-1} dr^2 + r^2 d\Omega_2^2$$

Penrose

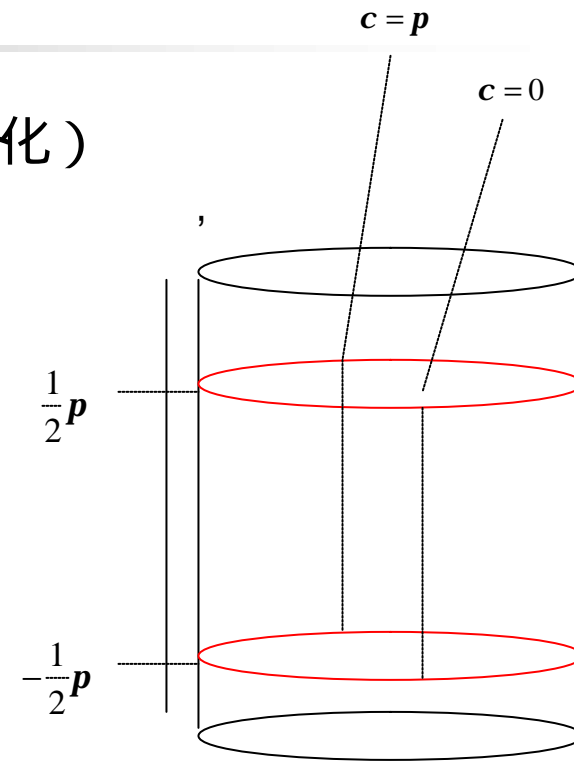
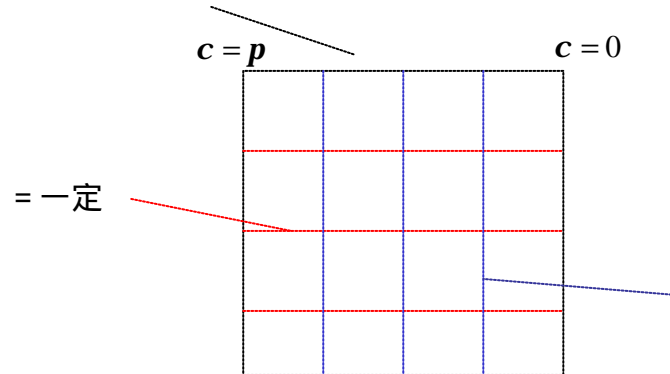
共形埋め込み (共形変換で時空のコンパクト化)

$$t' = 2 \tanh^{-1}(e^t) - \frac{1}{2}p$$

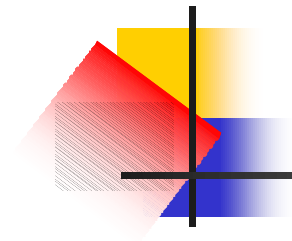
$$-\frac{1}{2}p < t' < \frac{1}{2}p$$

$$ds^2 = H^{-2} \sec^2(t') \underbrace{[-dt'^2 + dc^2 + \sin^2 c d\Omega_2^2]}_{\text{Einsteinの静的宇宙モデル}}$$

共系無限遠方 (Conformal Infinity)

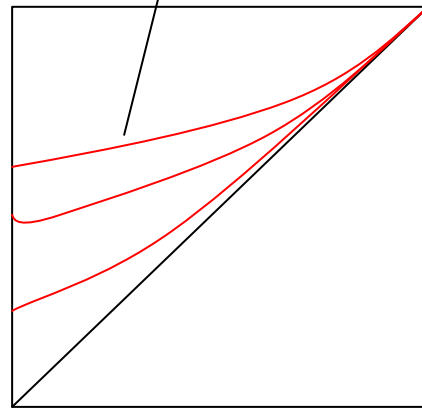


(完全チャート)

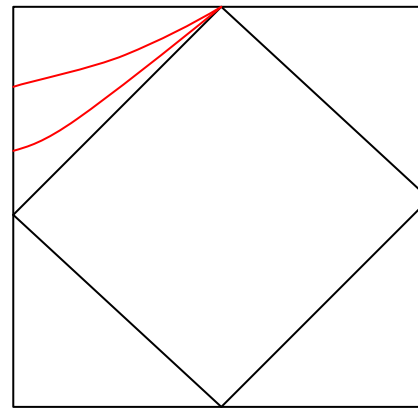


Penrose図(2) : 他の座標

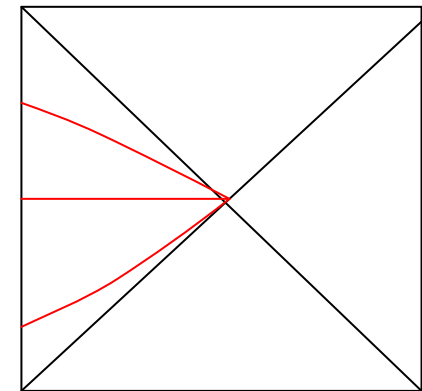
(時間 = 一定) 面



平坦チャート



開チャート

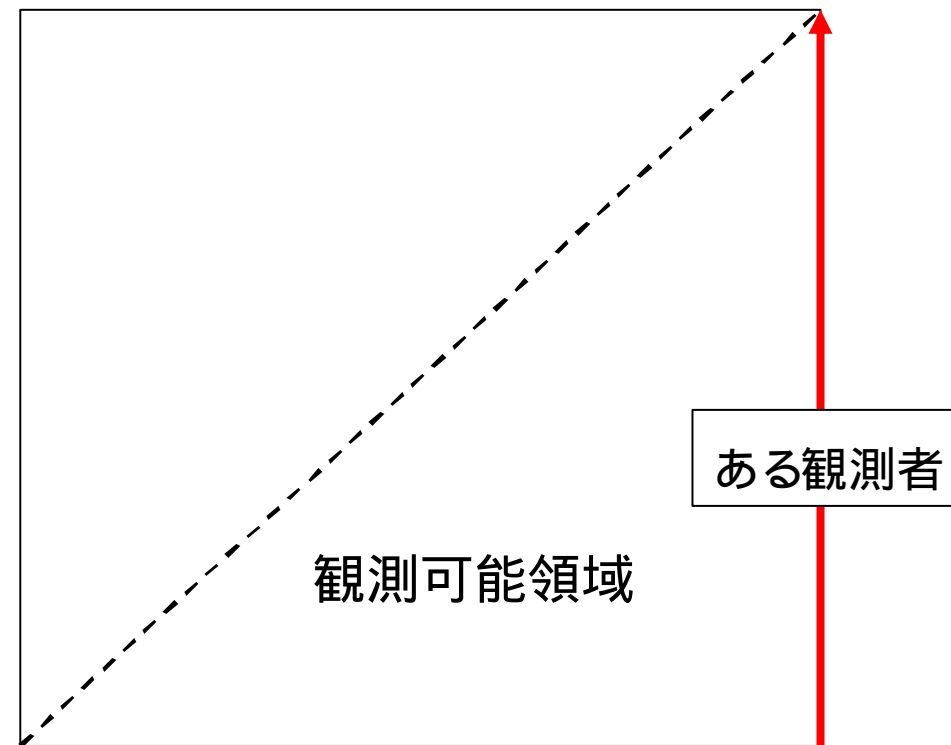


静的チャート

Penrose図 (3) 地平線

- 共形無限遠方が空間的
- Horizonが存在する。
- 時空がいたるところ静的でない。
- 正定値のHamiltonianを構成できない。

超重力理論と相性が悪い

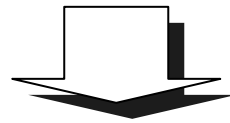




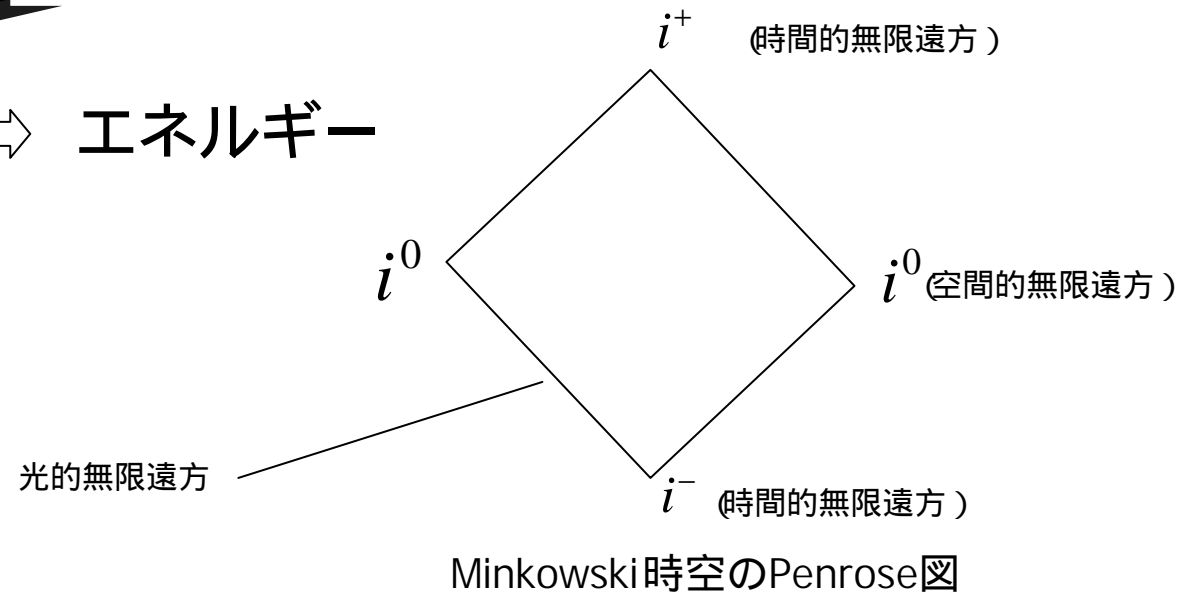
3. deSitter energy?

漸近的に平坦な時空の場合

{ 物質が無限遠方で適度に振舞う
Einstein方程式 } \Rightarrow 漸近的に「ポアンカレ」群が存在



時間並進対称性 \Rightarrow エネルギー





正エネルギー一定理

Wittenの証明 (81) \leftarrow 超重力理論

時空の全エネルギー

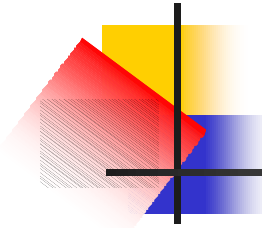
$$M = \frac{1}{16\pi |e_0|^2} \int_{S_\infty} dS_m [\bar{e} g^{ma} \nabla_a e - \overline{\nabla_a e} g^{ma} e] = \int dV [|\nabla_i e|^2 + 4\pi T_{mm} x^m t^n] \geq 0$$

$$\left\{ \begin{array}{l} \mathbf{g}^i \nabla_i \mathbf{e} = 0 \\ \text{Witten方程式} \\ \mathbf{e} \xrightarrow{r \rightarrow \infty} \mathbf{e}_0 \\ \mathbf{x}^m = \bar{\mathbf{e}} \mathbf{g}^m \mathbf{e} \end{array} \right.$$

超重力理論との対応関係

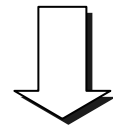
$dy_m \sim \nabla_m e$

Gravitino

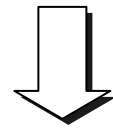


正エネルギー一定理 (2)

$$M = 0 \quad \Rightarrow \quad \nabla_i \mathbf{e} = 0$$



$$[\nabla_i, \nabla_j] \mathbf{e} \sim R_{ijm} [\mathbf{g}^m, \mathbf{g}^n] = 0$$



$$R_{mab} = 0$$

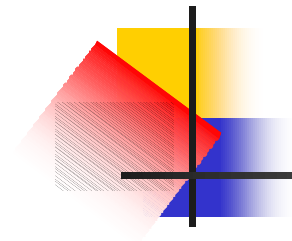
N=2超重力理論を意識すると

$$\nabla_m \mathbf{e} \rightarrow \hat{\nabla}_m \mathbf{e} = \nabla_m \mathbf{e} + \frac{i}{4} F_{ab} \mathbf{g}^{ab} \mathbf{g}_m \mathbf{e} \quad dy_m \sim \hat{\nabla}_m \mathbf{e}$$

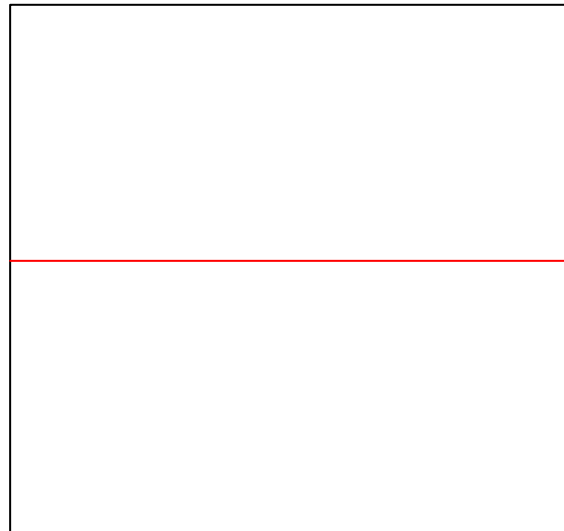
$$\begin{aligned} 8pe_0^+ (M - (Q - g_5 P)) e_0 &= \frac{1}{2} \int dS (\bar{\mathbf{e}} \mathbf{g}^{ma} \hat{\nabla}_a \mathbf{e} - \overline{\hat{\nabla}_a \mathbf{e}} \mathbf{g}^{ma} \mathbf{e}) \\ &= \int dV [|\hat{\nabla}_i \mathbf{e}|^2 + 8p (T_{mm} - T_{mm}(F)) x^m t^n - i \bar{\mathbf{e}} (\nabla_m F^{mm} - g_5 \nabla_m \tilde{F}^{mm}) e t^n] \end{aligned}$$

$$M \geq \sqrt{Q^2 + P^2} \quad (\text{Bogomol'nyi bound})$$

Saturation \Rightarrow $\left\{ \begin{array}{l} \text{Majumdar-Papapetrou 多重ブラックホール解} \\ \cup \\ \text{Extreme Reissner-Nordstrom Black hole 解} \end{array} \right.$ (BPS状態)



漸近的deSitter時空の場合



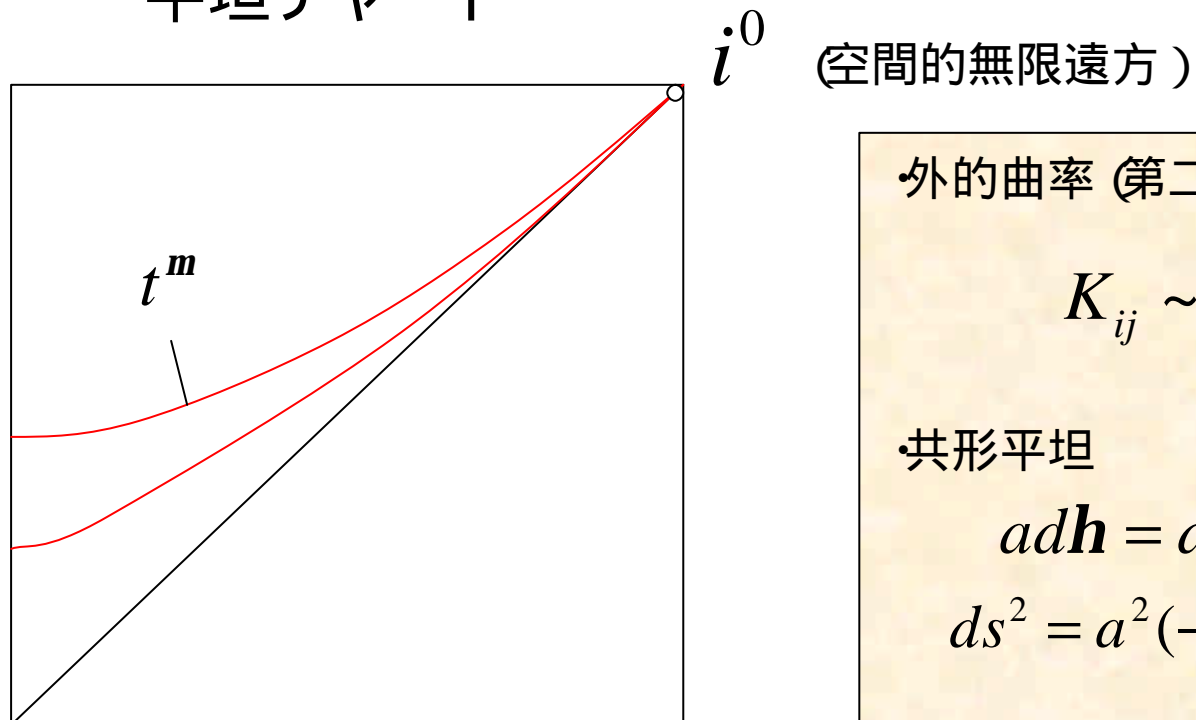
空間的無限遠方が存在しない。

物質が未来の無限遠方で十分はやく落ちるとしても、漸近的平坦な場合のように漸近的な対称性の存在が証明されていない (Anti-deSitterも同様)

共变的な漸近的対称性の系統的な研究は存在しない。

deSitterにおける空間的無限遠方

平坦チャート



• 外的曲率 (第二基本形式)

$$K_{ij} \sim \frac{1}{2} \partial_t g_{ij} = H g_{ij}$$

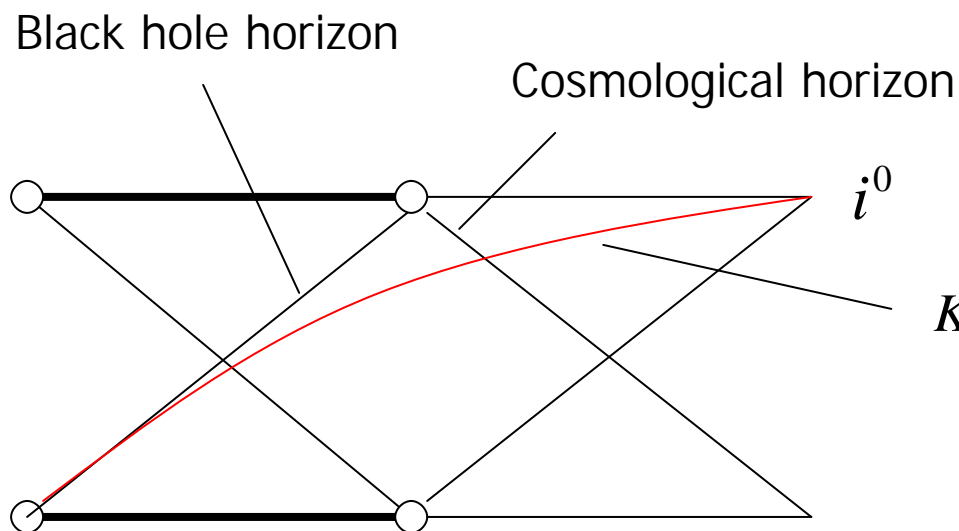
• 共形平坦

$$ad\mathbf{h} = dt$$

$$ds^2 = a^2 (-d\mathbf{h}^2 + dx^2 + dy^2 + dz^2)$$

Schwarzshild-deSitter時空

$$ds^2 = - \left[\frac{1 - m/2(ar)^{n-3}}{1 + m/2(ar)^{n-3}} \right]^2 dt^2 + a^2 \left[1 + \frac{m}{2(ar)^{n-3}} \right]^{4/(n-3)} d_{ij} dx^i dx^j \quad a = e^{Ht}$$



時間一定面上ではあたかも漸近的に平坦な時空のように振舞う

$$K_{ij} = Hg_{ij}$$



漸近的平坦チャート

漸近的平坦チャートでは空間的無限遠方が (恐らく) 一般に存在し、有限のエネルギーが定義される

$$\cdot K_i^i = 3H + O(1/r^3)$$

Hamiltonian constraint

$${}^{(3)}R + K^2 - K_{ij}K^{ij} = 16\pi G T_m^m t^m t^n + 6H^2$$



Cosmological Witten spinor

$$dy_m \sim \left[\nabla_m - igA_m + \frac{1}{2} g\mathbf{g}_m + \frac{i}{4} F_{ab} \mathbf{g}^{ab} \mathbf{g}_m \right] e \quad \Lambda = -3g^2$$

$$\Lambda < 0 \rightarrow \Lambda > 0, g \rightarrow iH$$

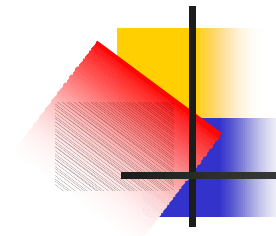
$$\Rightarrow \left[\nabla_m + HA_m + \frac{i}{2} H\mathbf{g}_m + \frac{i}{4} F_{ab} \mathbf{g}^{ab} \mathbf{g}_m \right] e$$



$$\hat{\nabla}_m e \equiv \left(\nabla_m + \frac{i}{2} H\mathbf{g}_m \right) e$$

$$\mathbf{g}^i \hat{\nabla}_i e = 0$$

もはや超対称性とは関係ない！



$\hat{\nabla}_m e = 0$ の意味

• deSitter時空の場合

$$\mathbf{x}^m \equiv -\bar{\mathbf{e}} g^m \mathbf{e}$$

$$\nabla_m \mathbf{x}_n + \nabla_n \mathbf{x}_m = iH g_{mn} \bar{\mathbf{e}} \mathbf{e} \quad \text{Conformal Killing vector}$$

\mathbf{e} : Conformal Killing spinor

• Anti-deSitterの場合

$$\nabla_m \mathbf{x}_n + \nabla_n \mathbf{x}_m = 0 \quad \text{Killing vector}$$



Cosmological Witten spinor in deSitter

$$\mathbf{g}^i \hat{\nabla}_i \mathbf{e} = \mathbf{g}^i \left(\partial_i + \frac{1}{2} K_{ij} \mathbf{g}^j \mathbf{g}^0 + \frac{i}{2} H \mathbf{g}_i \right) \mathbf{e} = \mathbf{g}^i \left(\partial_i + \frac{1}{2} H \mathbf{g}_i (\mathbf{g}^0 + i) \right) \mathbf{e}$$

Constat spinor解

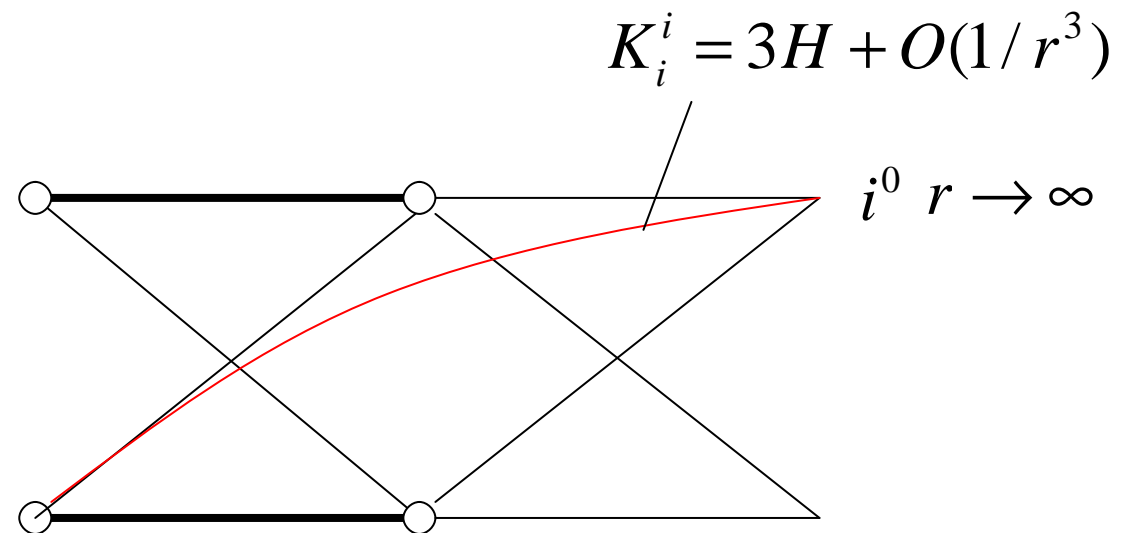
$$\mathbf{e} = \mathbf{e}_0 \quad \text{---} \quad \mathbf{g}^{\hat{0}} \mathbf{e}_0 = -i \mathbf{e}_0 \quad \text{---} \quad \text{独立な解が半分}$$

$$\mathbf{x}^m = -\bar{\mathbf{e}}_0 \mathbf{g}^m \mathbf{e}_0 \propto (\partial_t)^m \quad \text{Timelike conformal Killing vector}$$

Cosmological Witten spinor in asymptotically deSitter

$$g^i \hat{\nabla}_i e = \left(g^i \partial_i + \frac{1}{2} (K_i g^0 + 3iH) \right) e = 0$$

無限遠方で $r \rightarrow \infty$ $e \rightarrow e_0, g^{\hat{0}} e_0 = -ie_0$



Shiromizu('94), Kastor and Traschen(96), Shiromizu(99),
Shiromizu, Ida and Torii(01), Kastor and Traschen(02)



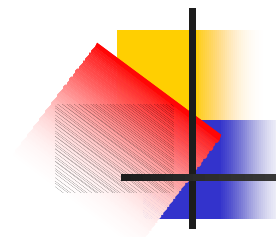
Positive energy theorem in deSitter

$$\hat{E}_m \equiv \frac{1}{2} \left(\bar{\mathbf{e}} \mathbf{g}^{ma} \hat{\nabla}_a \mathbf{e} - \overline{\hat{\nabla}_a \mathbf{e}} \mathbf{g}^{ma} \mathbf{e} \right)$$

$$Q_e = \int dS_m \hat{E}^{mm} = \int d\Sigma \left[\left(G_m + \frac{3}{2} H^2 g_m \right) \mathbf{x}^m t^n + |\hat{\nabla}_i \mathbf{e}|^2 \right] \geq 0$$

Einstein方程式
$$G_m + \frac{3}{2} H^2 g_m = 8pGT_m$$

Conformal Killing vectorでエネルギーを定義



Q_e の性質

- Conformal Killing vector で定義した Abbott-Deser エネルギー と一致

保存量

- Weyl tensor で定義された エネルギー と同じ

無限遠方の観測者が潮汐力で測るエネルギー

- $M=0$ のときに deSitter 時空で唯一に決まっていると証明できていない

宇宙項のある時空の基底状態が分からない。



A Bogomol'nyi bound in deSitter?

deSitter時空の多重ブラックホール解 Kastor and Traschen(93)

$$ds^2 = -U^{-2} dt^2 + a^2 U^2 (dx^2 + dy^2 + dz^2)$$

$$U = 1 + \sum_i \frac{m_i}{a |\vec{x} - \vec{x}_i|} \quad a = e^{\pm Ht}$$

$$m_i = |Q_i| \quad (\text{Extremeではない!})$$

重力と電磁気力との釣り合い

Bogomol'nyi boundはあるのか？



A Bound

$$\hat{\nabla}_m \mathbf{e} = \left[\nabla_m + \frac{i}{2} H \mathbf{g}_m + \frac{i}{4} F_{ab} \mathbf{g}^{ab} \mathbf{g}_m \right] \mathbf{e}$$

$$\int_{S_\infty} dS_{mm} \hat{E}^{mm} - \int_H dS_{mm} \hat{E}^{mm} = \int_\Sigma d\Sigma \left[\left(G_{mm} + \frac{3}{2} H^2 g_{mm} - T_{mm}(F) \right) \mathbf{x}^m t^n + |\hat{\nabla}_i \mathbf{e}|^2 - i \bar{\mathbf{e}} (\nabla_n F^{mm} - \nabla_n \tilde{F}^{mm}) t_n \mathbf{e} \right]$$

$$Q_e = \int_{S_\infty} dS_{mm} \hat{E}^{mm} = 8\pi e_0^+ (M - (Q - \mathbf{g}_5 P)) \mathbf{e}_0$$

$$\int_H dS_{mm} \hat{E}^{mm} = \frac{1}{2} \left[\int_{S_\infty} dS e^+ \left\{ -\mathbf{g}^{\hat{1}} \mathbf{g}^{\hat{A}} \left(D_{\hat{A}} + \frac{1}{2} K_{\hat{1}\hat{A}} \mathbf{g}^{\hat{1}} \mathbf{g}^{\hat{0}} \right) - \frac{1}{2} (k + (K - K_1^1) \mathbf{g}^{\hat{1}} \mathbf{g}^{\hat{0}}) - i (E_{\hat{1}} - \mathbf{g}_5 B_{\hat{1}}) \mathbf{g}^{\hat{0}} \right\} \mathbf{e} + c.c. \right]$$

$\neq 0$

deSitterでは が勝手にないために、この境界条件を課してしまうと、
非自明なWitten spinorが存在しない！

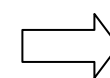
Gibbons, Hawking, Horowitz and Perry('83)

漸近的平坦な場合

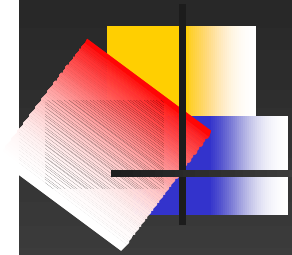
\mathbf{e}_0 付加的な条件なし

Horizon上で $\mathbf{g}^{\hat{1}} \mathbf{g}^{\hat{0}} \mathbf{e}_H = \mathbf{e}_H$ (境界条件)

Horizon上で $k + K - K_1^1 = 0$ (Horizonの性質)



$$\int_H dS_{mm} \hat{E}^{mm} = 0$$



一言

deSitterは古典論ですら深く考えると難しい。宇宙項問題への解決に向かって、これからも地道な努力を続けます。